

北京電視大學
數學系講義

[数学分析部分]

第三册

甲

北京電視大學數學系編

1960年9月

目 录

第八章 非線性振动

§1. 問題的提出 · · · · ·	1
§2. 相平面 · · · · ·	5
§3. 極限環 · · · · ·	7
§4. 非線性振动的近似方法 · · · · ·	17
习題：用小参数法解下列方程 · · · · ·	24

第九章 运动 定性理論

§1. 調速器的工作原理和运动穩定性的提出 · · · · ·	25
§2. 一階線性常係數齊次微分方程組解的穩定性問題 · · · · ·	30
§3. 平衡点 · · · · ·	34
习題解答（第九章 §1 §2） · · · · ·	42
題解（第九章 §3） · · · · ·	44
問題解答（第九章 §5） · · · · ·	48
§4. 穩定性第二方法 · · · · ·	49
§5. 非線性系統穩定性問題应用 · · · · ·	56
习題 · · · · ·	67
复习思考題 · · · · ·	67

第十章 微分方程的数值解法

§1. 初值問題的数值解法 · · · · ·	69
§2. 边值問題及其数值解法 · · · · ·	90
小結 · · · · ·	99

北京电视大学数学系講义

第八章 非綫性振动

从本世紀廿年代真空技術發明后，由于无线电技術的急速發展，对非綫性振动提出了迫切的要求。这时描述物理过程不能把微分方程中非綫性項忽略掉，这样的綫性化不僅導致量的改变，而且引起質的差異。象非衰減振动的穩定产生，頻率的改變，强制同步化等这一类問題，只有在振动系統中引入了非綫性元件后才能解决，因为在綫性振动中不可能存在着与初始条件无关的定常的振动状态。此外，非綫性振动对电工，自动控制和远距离操縱也有极重要的意义。因此有必要講述非綫性系統的处理方法。

如前所說生产提出的振动問題通常可分为两类。一类要求产生周期振动，另一类要求防止振动，要求产生振动的問題提給我們的任务是：确定系統是否产生周期振动，又由于初状态和振动情况有密切关係，而初状态的測定总是有誤差的，因此需要研究在初状态稍有改变时系統所产生的振动是否趨向于周期振动，是否另产生一种周期振动，振动的振幅与頻率是多大。要在数学上对上述問題作出肯定回答，首先就是找出刻划这个系統振动過程的微分方程，然后再進一步，研究这方程有否周期介，及周期介是否穩定，唯一並确定它的頻率振幅。

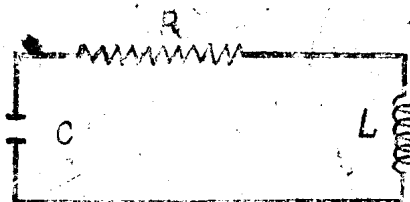
由于实际問題的需要，及列出的微分方程不易求解或求出介不能很清楚地看出介的性質。因此这一章不是要去找通解，而是根据微分方程本身的特点直接來確定解的性質。这就是定性研究的方法。在定性地肯定了微分方程的周期介的存在，穩定，唯一的基礎上，再定量地計算出它的振幅和頻率，把問題徹底解决。可见定性与定量方法虽然是两种不同的研究方法，但在整个研究中是相輔相成的，定性研究是定量計算的根据，而通过定量計算才把問題徹底解决。

本章通过对等幅周期振盪电路的研究，來闡明介決非綫性振动問題的一些重要方法。

§1. 問題的提出

以下我們來集中討論等幅周期振盪电路問題，它在生产实践中（无线电通訊、无线电定位）有广泛的应用。这种电路是带三极电子管振盪电路（註一）中較簡單和較有代表性的。

由电容器 C ，电阻 R 和线圈 L 串联就組成一个振盪迴路如圖(6.1)



如果一开始給电容器充电，则以后在迴路中就产生振盪。R—L—C 回路是产生振盪的最基本电路，但是它所产生的振盪是衰减的（圖6.2）因为在电阻R中部分电能轉換为热能。

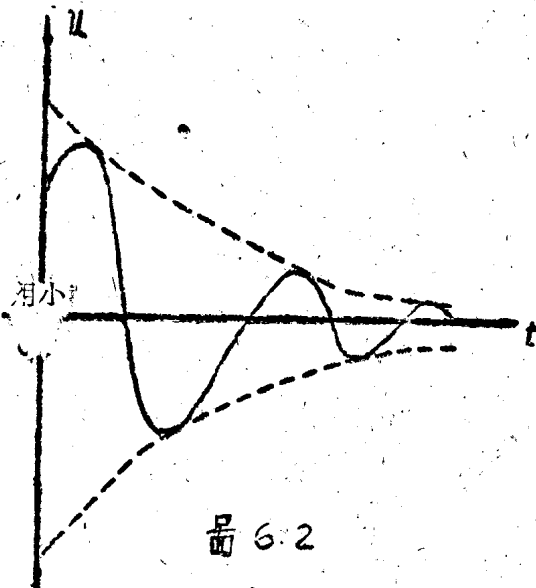


圖 6.2

如此要加一个能源，补偿能量以抵消耗（圖 6.3）就是实现補偿能量的一种通常設計。它是通过线圈 N 与 L 互感，而把能量不断輸送到 R—L—C 回路。这样在 R—L—C 回路上就能产生等幅周期振盪。

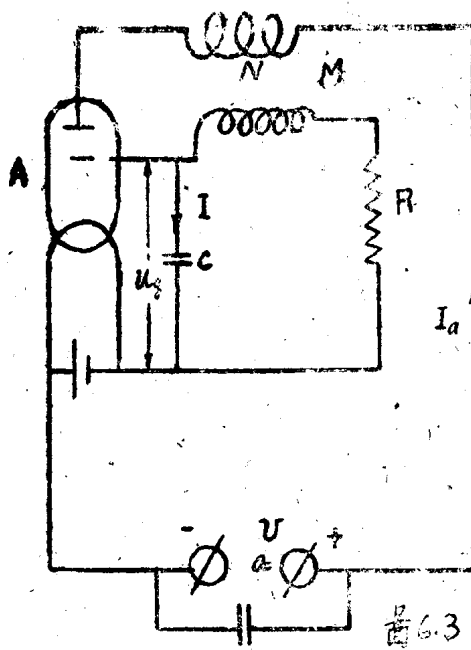


圖 6.3

現在我們的任务是从理論上來确定該振盪器是否产生等幅周期振盪，这对設計振盪器的工作來說是十分重要的，因为振盪器能否产生等幅周期振盪与振盪器所用材料，原件等都有

關係，我們現就從理論上來確定這種關係，一般說來現成的振盪器能否產生等幅周期振盪，可用示波器測出來。但是還不能有把握地確定振盪的唯一性，即它只產生一種周期振盪，也不能有把握地肯定振盪的穩定性，所謂穩定性，就是在系統的初始狀態稍有改變時所產生的振盪趨向於等幅周期振盪，因此需要從理論上來解決這些問題。

我們注意到振盪是在 $R-L-C$ 週路產生的，因此只需考查 $R-L-C$ 週路，特別地我們抓住電容 C 兩端之電壓，即副極電壓 u_g 之變化，它刻劃了該週路的振盪情況（見註一）由電學上克希霍夫第二定律可知，電路網中任一閉合迴路上各部分的電勢降之和等於各部分電動勢之和，現在我們來看 $R-L-C$ 週路各部分電勢降和電動勢，取定電流 I 的方向如圖（6.3）在電阻 R 上有電勢降 IR ；如果副極電流不計，則在電容器 C 上有電勢降 $u_g = \frac{1}{C} \int_{t_0}^t I dt$ （根據

公式，電容器兩端電勢降 $U = \frac{Q}{C}$ 這裡電量 $Q = \int_{t_0}^t I dt$ ）繞圈 L 的自感係數為 L ，由於自

感產生的自感電動勢為 $-L \frac{dI}{dt}$ ，還有繞圈 N 上有板極電流 I_a 流過，而對繞圈 L 感應，

設其互感係數 M ，則產生互感電動勢為 $E_M = -M \frac{dI_a}{dt}$ 要使能量得到补偿， L 與 N 的關係必須一定，使得互感電動勢 E_M 與 $R-L-C$ 的電勢降的方向相反。於是根據克希霍夫第二定律就有方程：

$$IR + \frac{1}{C} \int_{t_0}^t I dt = -L \frac{dI}{dt} - \left(-M \frac{dI_a}{dt} \right)$$

$$\text{由於 } u_g = \frac{1}{C} \int_{t_0}^t I dt \quad \therefore I = C \frac{du_g}{dt}$$

把上式代入方程化簡得：

$$LC \frac{d^2 u_g}{dt^2} + RC \frac{du_g}{dt} + u_g - M \frac{dI_a}{dt} = 0$$

我們注意的是副極電壓 u_g 的變化，但上式中還含有板極電流 I_a 的微商。為此需要進一步找關係消去它。

在板極電流 I_a 不超過飽和的情況下，由電子管的特性可知 I_a 與 u_g 有一近似關係：

$$I_a = \sigma \left(u_g - \frac{u_g}{2u_s} \right)$$

其中 σ 為電子管的跨導， u_s 為對應的子板極飽和電流的副極電壓。

將上式代入前方程得

$$LC \frac{d^2 u_g}{dt^2} + \left(M\sigma - RC - M\sigma \frac{u_g^2}{Ns^2} \right) \frac{du_s}{dt} + u_g = 0$$

以 LC 除两边並令 $a = \frac{1}{LC}$, $b = \frac{M\sigma}{LC} - \frac{R}{L}$, $e = -\frac{M\sigma}{LC}$

得 $\frac{d^2 u_g}{dt^2} - b \left(1 - \frac{e}{bu_s^2} u_g^2 \right) - \frac{du_g}{dt} + a u_g = 0$

至此我們導出了刻划 u_g 变化的微分方程，但为了方便我們將進一步簡化。如消去最后一項 u_g 的係數作變換

$\tau = a^{-\frac{1}{2}} t$ 代入方程得：

$$\frac{d^2 u_g}{d\tau^2} - a^{-\frac{1}{2}} b \left(1 - \frac{au_g^2}{bu_s^2} \right) - \frac{u_g}{d\tau} + v_c = 0$$

这时第二項 $\frac{du_g}{d\tau}$ 的係數还很繁雜，我們再作變換 $x = \left(\frac{C}{b} \right)^{\frac{1}{2}} \frac{1}{u_s} u_g$ 此變換是 u_g

乘上一常数，因此，知道了 x 的变化規律，也就知道 u_g 的变化規律，再注意

$$u_g = \frac{1}{C} \int_{t_0}^t I dt$$

因此， x 相当于电容器 C 的电量，把變換代入就有

$$\frac{d^2 x}{d\tau^2} - \varepsilon (1 - x^2) \frac{dx}{d\tau} + x = 0$$

为了习惯方便将 τ 换成 t ，即

$$\frac{dx^2}{dt^2} - \varepsilon (1 - x^2) \frac{dx}{dt} + x = 0 \quad (1)$$

这就是等幅周期振盪方程（一些書上叫范德波方程）

其中参数 $\varepsilon = a^{-\frac{1}{2}} b = \left(\frac{1}{LC} \right)^{-\frac{1}{2}} \left(\frac{M\sigma}{LC} - \frac{R}{L} \right)$

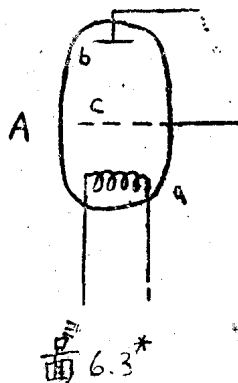
它由电路中各元件的物理性質确定。从电学上可知，它相当于能量的补偿与損耗之差。若 $\varepsilon > 0$ ，即补偿大于損耗时从 §3 中可知将产生稳定的等幅周期振盪，這是我們所不需要的。因此需要選擇互感 M 相当大，使 $\varepsilon > 0$ 为了使振盪是等幅周期的。还需要控制电路中各元件，使之相当小，因此在以后的討論中我們把 ε 当作小参数（即 $0 < \varepsilon < 1$ ）來管理。

因为实际要求設計的振盪系統，产生与初值选择无关的周期振盪，而綫性方程不能描述这种現象，由此可见本問題不能綫性化处理，必須用非綫性系統來描述，这完全符合量变引起質变的客觀規律。

下一步我們就把注意力轉到方程 (1) 是否有周期解及解的穩定性，唯一性的討論，並且把振幅的頻率計算出來。在解决具体問題的时候也就給出解問題的一般原則和方法。

[註一]三极电子管（燈泡）振盪电路：——

圖 (6.3) A 为三极电子管，电子管为一直空管，*a* 为阴极一般称为絲极，*b* 为阳极一般称



为板极中間的 *C* 为栅极，当絲极与板极的电势差充分大时，阴极(絲极)上电子便紛紛飛向阳极，栅极是起着柵柵的作用，用來控制由絲极飛向板极的电子数目的。当柵极电压为负时，絲极飛來的电子便不易通过和完全通不过；反之，当柵极电压为正时电子便大量通过，因柵极是与 $R-L-C$ 振盪迴路相連的，故电压有时正有时負，因而使 *N* 路上产生忽强忽弱的电流。

§2 相 平 面

我們要研究着幅周期振盪方程

$$\frac{d^2x}{dt^2} - \epsilon(1-x^2)\frac{dx}{dt} + x = 0 \quad (1)$$

是否有周期解和解的性質。但方程(1)是非綫性的，无法直接求解因此我們採用定性研究的方法。

注意(1)中的 *x* 代表电量(最多差一个常数因子)而在实际測量中往往是觀察电流的波形。 $(I = \frac{dx}{dt})$ 。为此要突出量 $\frac{dx}{dt}$ 来研究；令 $y = \frac{dx}{dt}$ 則方程(1)为

$$\begin{cases} \frac{dx}{dt} = y \\ \frac{dy}{dt} = \epsilon(1-x^2)y - x \end{cases} \quad (2)$$

然后在相平面 (*x*-*y* 平面) 上討論問題，我們把相平面上的点称为相点。一般地形如

$$\begin{cases} \frac{dx}{dt} = X(x, y) \\ \frac{dy}{dt} = Y(x, y) \end{cases} \quad (3)$$

的方程(即右端函数不含自变量 *t* ——这种系統，称为自治系統)用相平面方法來研究是很

方便的。这时可以代替(3)考慮

$$\frac{dy}{dx} = \frac{Y(x, y)}{X(x, y)} \quad (4)$$

它的积分曲线，称为方程組的軌道（註二）

相平面不同于一般坐标平面，相点不同于一般坐标点。它的坐标 (x, y) 有具体的物理意义（例如电量与电流、或位置与速度等等）一个相点表示运动过程中的一个状态，而相平面上的一条曲线反映一个运动过程。就自治系統而言，对于周期解來說，从一个运动状态出发經過周期 T 后仍回到原来的状态，反映在相平面上就形成一条封闭轨道，如圖(6.4)（注意

这种 軌道都是简单闭曲线圖(6.5)的情况不会發生，因为在 $x-y$ 平面上 $\frac{dy}{dx} = \frac{Y(x, y)}{X(x, y)}$ ：

的解是存在唯一的，一点不可能有二个切线方向）

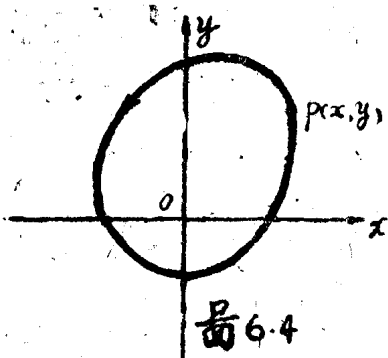


圖 6.4

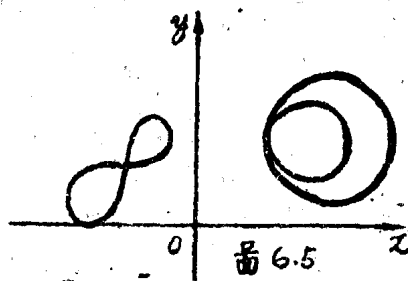


圖 6.5

反过来，相平面上的闭轨道（简单闭曲线）一定对应于周期解，

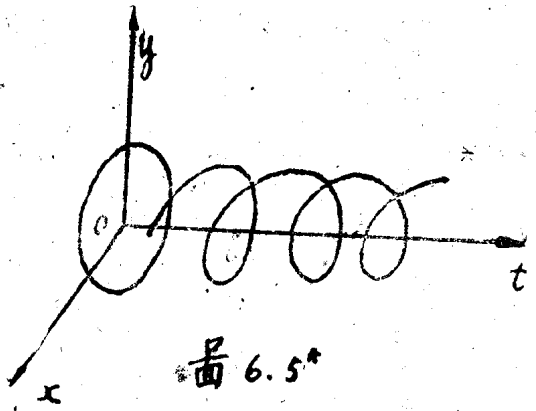
事实上，从闭轨道上点 p 出发沿着闭轨道运动，经有限时间 T ，便回到 p 点（因为闭轨道上没有奇点）如此继续下去，周而复始，就构成周期性运动，其周期是 T 。这样对自治系統來說，考慮周期解的問題，就轉化为在相平面考慮封闭轨道的問題。

註2：为了全面直观地了解主要量 x, y 和时间 t 的关系，引进三維空間 $\{x, y, t\}$ 那么 $\left\{\frac{dx}{dt}, \frac{dy}{dt}, 1\right\}$

表示了方程(2)在空间中的方向场，而方程(2)的解 $x=x(t), y=y(t)$ 就是空间中的一条积分曲线，这样就形象地表示了量 x, y 随时间 t 的变化过程。

我們注意到方程(2)右端不顯含 t ，因此方向场的方向不随时间改变，故任何一个平行 xy 平面上的方向场与 x, y 平面上的方向场相同。故对于方程(2)与(4)对应的方程 $\frac{dy}{dx} = \varepsilon(1 - x^2) - \frac{x}{y}$ 在相平面上的轨道是三維空间的积分曲线沿 t 轴方向在 x, y 平面上压缩，这一

点是自治系统的特性。



§3 极限环

1. 等斜线法和极限环的概念:

我們要求上面的振盪电路产生等幅周期振盪，並且要求这种振盪是穩定的。相应地就要研究方程有沒有周期解的問題。在工程技術上常采用一种比較粗略，但快速有效的方法，这就是前面在線性方程組里已經講过的等斜線法，在相平面上用等斜線描出方向場，作出方程(2)的軌道，根据积分曲綫的分布情况，便可确定周期解的存在及其性質，下面就用这个方法來解决我們的具体問題。

$$\text{把方程} \quad \frac{d^2x}{dt^2} - \epsilon \left(1 - x^2 \frac{dx}{dt} \right) + x = 0 \quad (1)$$

化为

$$\begin{cases} \frac{dx}{dt} = y \\ \frac{dy}{dt} = \epsilon(1-x^2)x - x \end{cases} \quad (2)$$

将(2)式中两式相除得

$$\frac{dy}{dx} = \epsilon(1-x^2) - \frac{x}{y} \quad (3)$$

以后把(3)的方向称为(1)的方向場

以 $\epsilon=0.1$ 为例來作出等斜線，相應于 $\frac{dy}{dx} = -1$ 的等斜線為 $y = \frac{x}{0.1(1-x^2)+1}$ ，這是一条三次曲綫。同样可以作 $\frac{dy}{dx} = -2, 0.5, 0.25, 0, -0.5$ 时的等斜線（见圖6.6）再

根据 $\frac{dy}{dx}$ 的正負号確定等斜線上每一点的方向，我們就得到了方向場，于是就可以大致描出轨道了（见圖6.6所示）

从圖(6.6)上看出，原点附近的积分曲綫愈來愈向外盤旋，离原点較远的积分曲綫愈來

愈向內盤旋，這兩類，積分曲線愈來愈接近、並大體上可以看出趨向于一條近似圓形的閉積分曲線。存在封閉積分曲線就是表示方程(1)有周期解，即電路中產生的是等幅周期振盪，我們得到的封閉積分曲線在實際和理論上都是重要的，故引進定義：方程

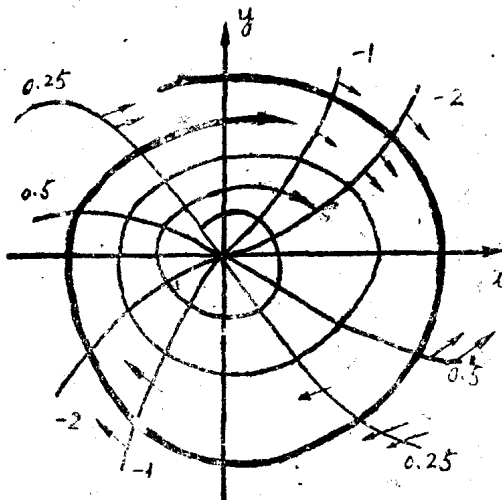


圖 6.6

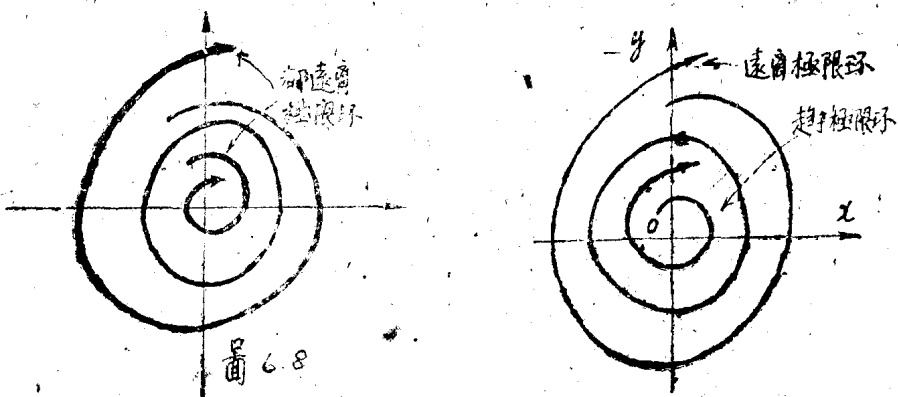
$$\left\{ \begin{array}{l} \frac{dx}{dt} = X(x, y) \\ \frac{dy}{dt} = Y(x, y) \end{array} \right.$$

的軌道中如果有閉曲線，並且周圍的軌道都是以它為極限的螺旋線，則稱此閉曲線為極限環。

順便指出，這種現象，線性系統是不能具有的。因為，由於線性系統的解乘以常數還是解。所以若有周期解，必不是孤立的更不會產生螺旋形的軌道。從這點，可以看到線性系統與非線性系統的一種質的差別。

從方程(3)可看出，原點是方程的唯一奇點，奇點和極限環在相平面上都居於特殊的地位。從圖上看出這個唯一的奇點正好落在極限環內。這個事實不是偶然的，我們指出，在一般問題中，極限環內至少存在一個奇點。（註明從略）。

上面我們具體地作出了極限環，解決了周期解的存在性問題。但是，還要考慮這個周期解是否穩定。怎樣確定周期解（極限環）的穩定性呢？如果極限環附近的積分曲線當 $t \rightarrow +\infty$ 時趨向於極限環，就算極限環是穩定的。對於方程(1)來說，從圖上可以看出，當 $t \rightarrow +\infty$ 時環內外的積分曲線，都是無限地趨向於它，因此它是穩定的。除了穩定的情況以外，還有兩種情形：半穩定的和不穩定的〔圖(6.7)圖(6.8)〕由於實際中很少遇到這兩種情形，我們不詳細討論它了。

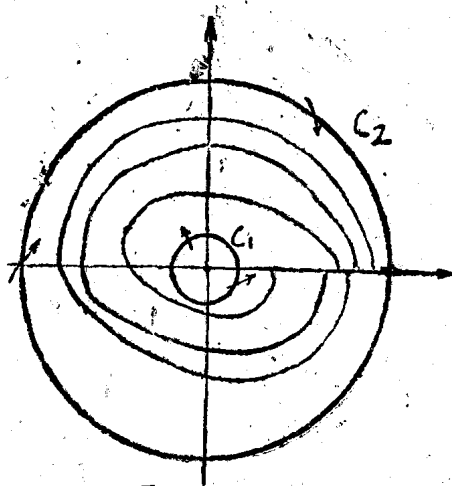


2. 极限環存在判別法及其运用。

对于一般的工程技術問題，利用上节方法（用等斜法画出方向場，然后描出軌道）不但可以估計出穩定极限環的存，在而且可估計出电流振幅（即极限環半徑）大小。但是若只判断穩定极限環是否存在时，可不用花那么多功夫描軌道（有的螺旋綫很慢地趨向于极限環），而只要能够知道方場（並不需要作出方向場）就足够了。

下面从特殊問題方程(1)出发，具体分析穩定极限環，周围方向有何特性，这种性質是否刻画了穩定极限環本質，从而确定一般問題穩定极限環存在判別法。

从方程(1)的方向場和軌道分佈情況，我們看到穩定极限環附近軌道，趨于向极限環，且圍繞它越來越緊密，可以想像有如圖所示。以 c_1, c_2 为边界，由細密軌道組成的一个環帶，軌道都經過 c_1, c_2 進入環帶內部，即方向場在 c_1, c_2 上的方向皆指向環帶內部，这个特性确实深刻的反映了穩定极限環附近方向的性質。 c_1 和 c_2 上每点方向皆指向環帶內部，这个特性沒有反映軌道趨向极限環的快慢，但却足够确定穩定极限環的存在。

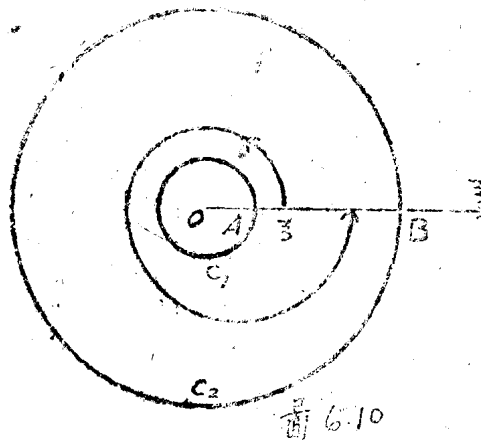


面 6.9

現在要問：反过来，若有在上述由 c_1, c_2 围成的区域是否能够决定穩定极限環的存在呢？

即从方程(1)表示的結果是否是个普遍規律呢？我們知道由于 $c_1 c_2$ 上各点方向指向環帶內部，所以过 $c_1 c_2$ 上各点的軌道都将進入環帶內部，由于无论 c_1 或是 c_2 上各点方向都是指向環帶內部，所以軌道進入環帶就出不來了（若在 $c_1 c_2$ 上某点 p 出來，則 p 点有指向帶外部之方向，但由 $c_1 c_2$ 性質 p 点有指向內部之方向，則 p 点至少有二方向，和方程解唯一性矛盾）如果環帶內部沒有奇点，軌道就不能有終点，而将无止境的在環帶內部繞環，由于每点不許有二方向，所以軌道又不能相交，所以最后总有一极限，即极限環。从上例(1)中也可看出极限環附近的軌道螺旋的趨向于它的原因之一是那里沒有奇点。下面我們就比較嚴格地證明对一般問題，在不包含奇点的上述環帶內一定有一个穩定的极限環。

作一環帶截綫 $O\xi$ 交 C_1 于 A 点，交 C_2 于 B 点，在 AB 上选取坐标系， A, B 坐标分别为 a 和 b ，如圖 6.10。从 AB 上任一点 ξ 出發的軌道出不了帶 (C_1, C_2 方向是指向內部) 又因帶內无奇点，所以軌道繞一周必回來与 AB 相交，交点随 ξ 而变，是 ξ 的函数，把交点記作 $f(\xi)$ 。这样以来，超极限環是否有存在的問題，化成为，是否存在这样的一点 $\xi = \xi_0$ ，使得 $f(\xi_0) = \xi_0$ 。即軌道封閉了。若令 $\varphi(\xi) = f(\xi) - \xi$ ，則問題归結为在区间 $[a, b]$ 内 $\varphi(\xi)$ 是否有零点的問題了。由于軌綫总是環帶內部所以 $a < f(\xi) < b$ 。則 $\varphi(a) = f(a) - a > 0$, $\varphi(b) = f(b) - b < 0$ 根据 $f(\xi)$ 的連續性 [註] 至少在 $[a, b]$ 内存在一点 ξ_0 使 $\varphi(\xi_0) = 0$ ，所以在環帶內有封閉軌道。



[註]: 在 AB 上任取一点 p_0 坐标 ξ_0 ，过 p_0 軌道繞一周交 AB 于 Q_0 ，点坐標 $f(\xi_0)$ ，函数 $f(\xi)$ 在 ξ_0 連續，即只要 p 充分接近 p_0 便可使 Q 充分接近 Q_0 。（ Q 为一軌道）下面証明 $f(\xi)$ 在 $[a, b]$ 内任一点 連續：任給 $\varepsilon > 0$ 我們在 Q_0 旁取定点 Q_1, Q_2 如圖 6.11 使 $Q_1 Q_0 = Q_0 Q_2 = \frac{\varepsilon}{2}$ 逆着过 Q_1, Q_2 軌道交 $O\xi$ 軸于 p_1, p_2 則从 $[p_1, p_2]$ 内任一点 p 出發的軌道必在圖示阴影区域之内（因解存在唯一、所以軌道不能相交）則交点 Q 必在 $Q_1 Q_2$ 之内即当 $|\xi - \xi_0| < \delta = \min(p_1 p_0, p_2 p_0)$

时 $|f(\xi) - f(\xi_0)| < \varepsilon$

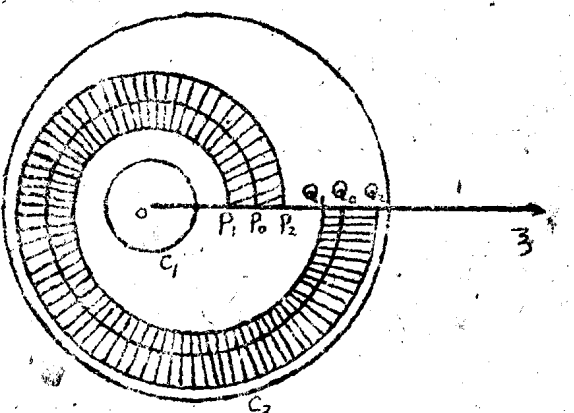


图 6.11

上面我們只證明了，在這個區域內至少存在一個軌道，進一步還可以證明在這些閉軌道中至少有一個穩定的極限環（證明從略），這樣我們就得到了：

關於一般問題穩定極限環存在判別法：

對於方程

$$\begin{cases} \frac{dx}{dt} = X(x, y) \\ \frac{dy}{dt} = Y(x, y) \end{cases}$$

在平面上由 C_1 和 C_2 (C_1, C_2 稱為無切環) 所圍成的環形區域，若內部無奇點且方向場在 C_1, C_2 上的方向指向環形區域內部 (C_1, C_2 可以由軌道組成) 則區域中至少有一個穩定極限環。

這個定理把具體描繪軌道的問題，歸結為找出無切環 C_1, C_2 的問題。它適用於在無線電技術領域中經常出現的（歸納為）下列類型的方程

$$x'' + f(x)x' + g(x) = 0$$

故有著廣泛的指導意義。

怎樣用這個定理去解決實際問題呢？即對於實際問題如何選取 C_1, C_2 呢？沒有一個一般的方法，必須具體問題具體分析，下面我們通過對方程(1)的具體分析來歸納幾點經驗。

我們所求 C_1 和 C_2 之間沒有奇點，此外，至 §3 開始已指出極限與奇點有如下關係：極限環內只少包含一個奇點。這兩個特點就給 C_1 和 C_2 的選取確定了一個大致的範圍。因此首先讓我們研究系統的奇點。

為下面在方向場上作方向方便，在此我們採用把二階方程化為方程組的另一種方法，即令 $\frac{dy}{dt} = x$ (一種方法是令 $\frac{dx}{dt} = y$) 對方程(1)積分一次就得：

$$\begin{cases} \frac{dy}{dt} = x \\ \frac{dx}{dt} = -y - 0.1 \left(\frac{x^3}{3} - x \right), \quad (\text{在此 } \epsilon = 0.1) \end{cases}$$

改写此方程为：

$$\begin{cases} \frac{dx}{dt} = 0.1x - y - 0.1\frac{x^3}{3} \\ \frac{dy}{dt} = x \end{cases}$$

对于线性方程：

$$\begin{cases} \frac{dx}{dt} = 0.1x - y \\ \frac{dy}{dt} = x \end{cases}$$

的奇点(0,0)附近积分曲线分布情况，已经在线性方程部分讨论过。它是焦点型的（见图6.12）奇点附近的积分曲线是螺旋线，它有如下特点：当时间增加时动点向径长度增加，幅角θ减少，当方程右端附加高一个次项 $-0.1\frac{x^3}{3}$ 后，奇点仍是(0,0)，但是奇点附近积分曲线的

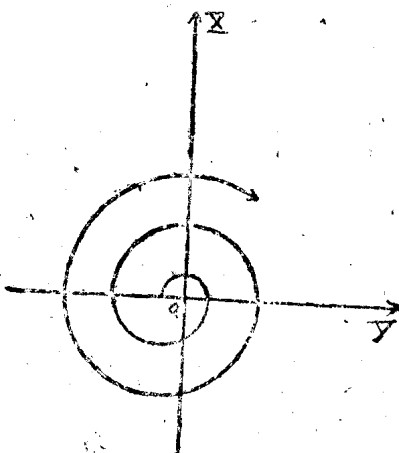


图 6.12

特性有所改变。直观看来，附加项当 $\gamma = \sqrt{x^2 + y^2} \rightarrow 0$ 时是高阶无穷小，大概影响不大。

为了证实这点，引入坐标变换：

$$\begin{cases} x = \gamma \sin \theta \\ y = \gamma \cos \theta \end{cases}$$

则 $dx = d\gamma \sin \theta + \gamma \cos \theta \, d\theta$

$x = \gamma \sin \theta + \gamma \cos \theta \, \dot{\theta}$

$dy = d\gamma \cos \theta - \gamma \sin \theta \, d\theta$

$y = \gamma \cos \theta - \gamma \sin \theta \, \dot{\theta}$

代入原方程

$$\left\{ \begin{array}{l} \dot{\gamma} \sin \theta + \gamma \cos \theta \dot{\theta} = 0.1 \gamma \sin \theta - \gamma \cos \theta - 0.1 - \frac{1}{3} \gamma^3 \sin^3 \theta \\ \dot{\gamma} \cos \theta - \gamma \sin \theta \dot{\theta} = \gamma \sin \theta \end{array} \right. \quad (1)$$

$$\left\{ \begin{array}{l} \dot{\gamma} \cos \theta - \gamma \sin \theta \dot{\theta} = \gamma \sin \theta \end{array} \right. \quad (2)$$

① $\cos \theta - ② \sin \theta$

$$\gamma \dot{\theta} = 0.1 \gamma \sin \theta \cos \theta - \gamma - 0.1 - \frac{1}{3} \gamma^3 \sin^3 \theta \cos \theta$$

即

$$\dot{\theta} = 0.1 \sin \theta \cos \theta - 1 - 0.1 - \frac{1}{3} \gamma^2 \sin^2 \theta \cos \theta$$

$$< 0.1 - 1 + 0.1 - \frac{1}{3} \gamma^2 < 0 \quad (\text{只要 } \gamma < 5)$$

④ $\sin \theta + ② \cos \theta$

$$\dot{\gamma} = 0.1 \gamma \sin^2 \theta - 0.1 - \frac{1}{3} \gamma^2 \sin^4 \theta$$

$$> 0.1 \gamma \sin^2 \theta \left[1 - \frac{1}{3} \gamma^2 \right] > 0 \quad (\text{只要 } \gamma < \sqrt{3})$$

由 $\gamma^2 = x^2 + y^2$ 得 $\gamma \frac{d\gamma}{dt} = x \frac{dx}{dt} + y \frac{dy}{dt}$ 再連系到原方程推出：

$$\gamma \frac{d\gamma}{dt} = 0.1 \left(1 - \frac{x^2}{3} \right) x^2$$

$$\frac{d\gamma}{dt} > 0 \quad (\text{当 } x^2 < 3 - \delta \text{ 即在原点附近})$$

另外 (在原点附近 $\gamma < 3$) $\frac{d\theta}{dt} = -1 - \frac{0.1}{3} \gamma^2 \sin^2 \theta \cos \theta + 0.1 \cos \theta \sin \theta$

$$< 0.1 + \frac{0.1}{3} (3)^2 - 1 < -A < 0$$

故非綫性系統的奇點附近的積分曲線仍是螺旋線，而且是順時針向外繞的。即奇點仍屬
焦點型。

一般說來，對於綫性方程組：

$$\left\{ \begin{array}{l} \frac{dx}{dt} = ax + by \\ \frac{dy}{dt} = cx + dy \end{array} \right.$$

若奇點是焦點 (或鞍點，或結點) 型，則：

$$\begin{cases} \frac{dx}{dt} = ax + by + \varphi(x, y) \\ \frac{dy}{dt} = cx + dy + \psi(x, y) \end{cases}$$

(其中 φ, ψ 对 $y \rightarrow 0$ 来说是高阶无穷小) 的奇点类型不变。(证明从略)

回到原来的問題我們先来找无切環 C_1 , 根据上面分析, C_1 必包围奇点 $(0, 0)$, 而原点是不稳定焦点, 我們选取原点鄰域的积分曲綫 ACB 作为 C_1 的一部份 (见圖6.13). 此时 A 点与 B 点之間的缺口还没有联接起来。因为在綫段 AB 上 $\frac{dx}{dt} < 0$, $\frac{dy}{dt} = 0$

所以方向場的方向垂直向下, 由于这个特点, 我們用直綫把 A, B 联接起来, 把閉曲綫 $ACBA$ 取作 C_1 , 到此余下的任务就是找出 C_2 ,

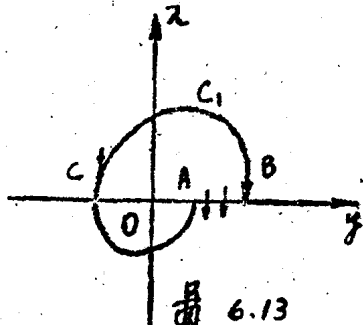


圖 6.13

我們对 C_2 提出了这样的要求: C_2 上方向場每点的方向必须指向 C_2 所围区域的内部。由于 C_2 与方向場具有紧密的关係, 所以我們光引进方向場的簡易作圖法。

已知方程:

$$\begin{cases} \frac{dy}{dt} = x \\ \frac{dx}{dt} = -y - \varphi(x) \end{cases}$$

則相平面上方向場在任意一点 $p(x, y)$ 的方向可以这样作出 (见圖6.14)

作曲綫 $y = -\varphi(x)$ (在此 $\varphi(x) = 0.1 \left(\frac{x^3}{3} + x \right)$) 由 p 点作 $0y$ 軸的平行綫交曲綫 $y = -\varphi(x)$ 于 A, 由 A 点作 $0y$ 軸的垂綫交 $0y$ 軸于 B 点 (以后就简称 P 点对应于 B 点) 联结 B, P, 作 PP 的垂綫方向場在 P 点的方向就沿着这条垂綫。(指向由 $\frac{dx}{dt}$ 的 $\frac{dy}{dt}$ 符号而定)

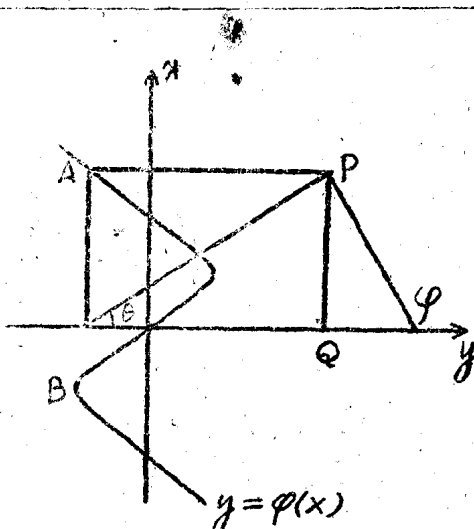


圖 6.14

(圖上曲線改為 $y = -\varphi(x)$)

證明：由作圖知 A 点的坐标是 $[-\varphi(x), x]$ ，B 点的坐标是 $[-\varphi(x), 0]$ 。作 PQ 垂直于 Oy 軸交 Oy 軸于 Q，令 $\angle PBQ = \theta$ ， BP 的垂線與 Oy 軸正向交角為 φ ，于是

$$\tan \varphi = -\cot \theta = -\frac{BQ}{QP} = -\frac{y - \varphi(x)}{x} = -\frac{[y + \varphi(x)]}{y} = \frac{dx}{dy}$$

這表明作圖是正確的。

這是一個很重要的作圖法，根據線 $y = -\varphi(x)$ 便可確定整個方向場，在工程上逐點應用此法就可近似作出積分曲線，所以它有普遍用途。

我們對具體問題(1)已經有了求出每點方向的方法，可以做出方向場，但我們的任務是求 C_2 ，用不着做出整個方向場。我們先來看看方程(1)的方向場的大致分布情況。

為此，以三個有代表性的點 R, P, Q 來說明 [見圖(6.1)] 由 $\frac{dx}{dt}$, $\frac{dy}{dt}$ 的符號可以確定

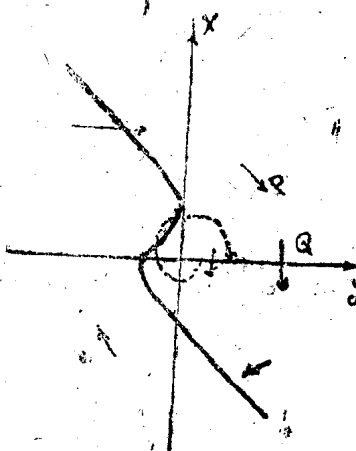


圖 6.15